

пространения плоской монохроматич. волны через кольцевой ОР с изотропной нелинейной средой. В этом случае вместо двух ур-ний системы (3) исходной для численного анализа является система четырёх ур-ний для медленно меняющихся амплитуд циркулярио поляризов. волн  $E_{\pm}(t)$  и соответствующих им нелинейных изменений фазы  $\Phi_{\pm}(t)$ . На рис. 3 приведено стационарное решение системы для линейно поляризов.

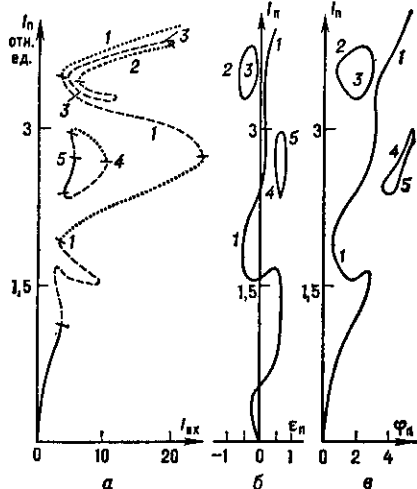


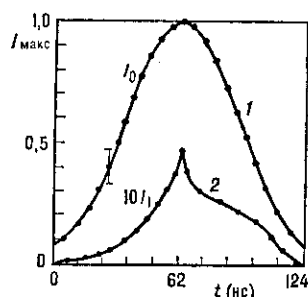
Рис. 3. Передаточные характеристики кольцевого оптического резонатора с нелинейной гиротропной средой при наличии поляризационного самовоздействия: а — зависимость  $I_n(I_{vx})$ ; б —  $\epsilon_n(I_n)$ ; в —  $\phi_n(I_n)$ . Цифрами помечены различные ветви оптической бистабильности.

волны, падающей на ОР, при определённых параметрах последнего. Для каждого конкретного значения  $I_{vx}$  имеется неск. значений  $I_n$  (рис. 3, а, отд. ветви помечены цифрами), для к-рых на рис. 3 (б) и 3 (в) можно определить соответствующие значения  $\epsilon_n$  и  $\Phi_n$ . Области устойчивости показаны только на рис. 3 (а). Здесь сплошной линией изображены решения, устойчивые в двух предельных случаях ( $t_p \ll \tau$  и  $t_p \gg \tau$ ), штрихами — неустойчивые, точками — устойчивые в первом, но неустойчивые во втором.

Устройства с поляризац. О. б., в к-рых кодировка сигнала осуществляется состоянием поляризации света, в ряде случаев имеют преимущества перед амплитудными: в них возможно достижение большего контраста при переключении между устойчивыми состояниями без ощущимой потери интенсивности волны.

Прохождение светового импульса через нелинейный ОР. Если макс. интенсивность падающего на ОР импульса удовлетворяет неравенству  $I_{b1} < I_{\max} < I_{b2}$ , то в процессе распространения его форма и длитель-

Рис. 4. Изменение формы импульса в резонаторе Фабри — Перо, заполненном жидким кристаллом МББА: 1 — импульс накачки; 2 — импульс, выходящий из оптического резонатора;  $t_n = 62$  нс,  $t_p = 0,11$  нс,  $\tau = 15$  нс.



ность меняются. Это происходит наиб. сильно, если обусловленная  $n_2$  поправка к собств. частоте ОР становится сравнимой с шириной межмодового интервала. Система ур-ний, описывающая трансформацию импуль-

са в кольцевом ОР с изотропной нелинейной непоглощающей средой в приближении неизменности поляризации света, отличается от (3) лишь тем, что  $E_0$  теперь зависит от времени. Числ. решение этой системы даёт многочисл. примеры изменения формы и длительности светового импульса при прохождении ОР. Наиб. часто эти изменения состоят в компрессии, преобразовании формы (рис. 4), сдвиге вершины импульса, прошедшего ОР, относительно падающего импульса, в появления нерегулярных осцилляций на временной огибающей. Зависящий от интенсивности поворот эллипса поляризации можно также использовать для формирования импульса заданной формы, т. к. состояние поляризации ( $\epsilon_n$ ,  $\Phi_n$ ) меняется во времени.

**Периодические и хаотические режимы при немодулированном входном сигнале.** Границы областей устойчивости стационарных состояний поля чувствительны к изменению параметров нелинейной оптич. системы с обратной связью. Если стационарное решение неустойчиво, то в системе могут возникать автоколебания, а при наличии запаздывания ( $t_p \neq 0$ ) и специфич. динамич. режим, при к-ром поле на выходе меняется хаотически во времени. Напр., в кольцевом ОР при  $r = 0,3$ ,  $F = 2\pi r$  и  $akl = 1$  стационарные решения ур-ний (3)

$$I_c = 1,79 \text{ (при } I_{vx} = 6,7),$$

$$I_c = 2,07 \text{ (при } I_{vx} = 11,6)$$

становятся неустойчивыми при  $t_p = 3,5\tau$ . При этом в первом случае происходит периодическое (рис. 5, а), а во втором случае хаотич. изменение интенсивности поля  $I_n(t) = (1 - r) |E(t)|^2$  в ОР (рис. 5, б).

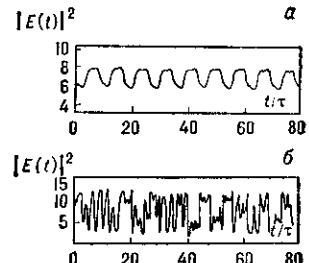


Рис. 5. Режимы периодического и хаотического изменения интенсивности света на выходе кольцевого ОР с нелинейной средой: а — при  $I_{vx} = 6,7$ ; б — при  $I_{vx} = 11,6$ .

В отсутствие поляризац. самовоздействия по мере уменьшения добротности ОР и отношения  $\tau/t_p$  неустойчивыми в определ. области интенсивностей оказываются всё более низколежащие ветви  $I_n(I_{vx})$ . Поляризац. самовоздействие приводит, с одной стороны, к увеличению числа ветвей пропускания, а с другой — к возникновению автоколебаний, не связанных с конечностью  $t_p$ . При увеличении  $I_{vx}$  или изменениях параметров ОР наличие запаздывания ( $t_p \neq 0$ ) приводят к существованию последовательности бифуркаций удвоения периода колебаний  $I_n(t)$ ,  $\epsilon_n(t)$  и  $\Phi_n(t)$ . Качеств. проявлением поляризац. самовоздействия в условиях оптич. хаоса является «обобщение» хаотич. движения, отвечающего разл. ветвям пропускания. При этом область изменения  $I_n(t)$ ,  $\epsilon_n(t)$  и  $\Phi_n(t)$  охватывает стационарные состояния, принадлежащие разл. ветвям и оказывающиеся неустойчивыми в результате конечности  $t_p$  или поляризац. самовоздействия.

Другие схемы обратной связи. Наиб. широко распространены оптоэлектронные (гибридные) системы, гл. частями к-рых являются электрооптич. кристалл и электрич. цепь обратной связи. Величина электрич. поля, прикладываемого к кристаллу, зависит от интенсивности прошедшего света. Ур-ние для амплитуды световой волны, прошедшей гибридную систему, аналогично (3) при  $\tau = 0$ , поэтому в ней О. б., периодич. и хаотич. режимы изменения выходной интенсивности такие же, как и в кольцевом ОР с нелинейной средой. Гибридная система является плосковолновым, чисто дисперсионным и хорошо управляемым устройством,